

ISSN 0030-4034

Том 123, Номер 6

Декабрь 2017



ОПТИКА И СПЕКТРОСКОПИЯ

<http://www.naukaran.com>



Санкт-Петербург
“НАУКА”

СПЕКТРОСКОПИЯ КОНДЕНСИРОВАННОГО СОСТОЯНИЯ

УДК 535.37

ФЛУОРЕСЦЕНЦИЯ КОМПЛЕКСА ЦИНКА С N,N'-БИС(5-БРОМСАЛИЦИЛИДЕН)ЭТИЛЕНДИАМИНОМ

© 2017 г. А. Н. Борисов*, М. В. Пузык, Л. П. Ардашева, В. Н. Пак

Российский государственный педагогический университет им. А.И. Герцена, 191186 Санкт-Петербург, Россия

*E-mail: alexey-borisov@mail.ru

Поступила в редакцию 13.07.2017 г.

Получен комплекс Zn(II) с N,N'-бис(5-бромсалицилиден)этилендиамином, интенсивно люминесцирующий в синей области видимого спектра. Установлено, что при 293 К комплекс цинка флуоресцирует как в поликристаллическом виде, так и в растворах ($\lambda_{\max} = 440$ и 450 нм соответственно); определены относительные квантовые выходы флуоресценции комплекса в разбавленных растворах в этаноле, диметилформамиде и диметилсульфоксиде.

DOI: 10.7868/S0030403417120054

ВВЕДЕНИЕ

Известно, что комплексы Zn(II) с ароматическими азометиновыми основаниями N_2O_2 - и NO-типа (основаниями Шиффа), производными салицилового альдегида, способны интенсивно флуоресцировать в видимой области спектра и могут быть использованы в качестве эмиссионного слоя при создании эффективных электролюминесцентных устройств [1–3]. Люминесцентные свойства комплексов [Zn(Schiff)] в растворах и поликристаллическом виде обусловлены излучательными переходами между уровнями органического лиганда и определяются его структурными особенностями – электронным характером заместителей в арильных фрагментах, природой диаминового моста и протяженностью системы π -сопряжения [4–6].

В настоящей работе рассмотрены спектральные и люминесцентные свойства тетрадентатного ароматического азометина N_2O_2 -типа – N,N'-бис(5-бромсалицилиден)этилендиамина и комплекса Zn(II) на его основе – H₂(5Br-salen) и [Zn(5Br-salen)] (рис. 1).

ЭКСПЕРИМЕНТАЛЬНАЯ ЧАСТЬ

Элементный анализ веществ выполняли на анализаторе Eurovector EA3000. ИК спектры (таблетки KBr) в диапазоне 4000–400 см^{–1} регистрировали на ИК фурье-спектрометре “Shimadzu IR-Prestige 21”.

Синтез H₂(5Br-salen). Азометин получали конденсацией 5-бромсалицилового альдегида (Aldrich, 98%) (0.47 г, 2.34 ммоль, 15 мл этанола) и этилендиамина (Merck, 99%) (0.08 мл, 1.17 ммоль) в условиях общего кислотного катализа ледяной уксусной кислотой. При нагревании и перемешивании полученного раствора в течение 5 мин образуются блестящие кристаллы желтого цвета. Целевое вещество отфильтровывали, промывали этанолом и высушивали на воздухе при 70°C. Выход продукта – 90%. Результаты элементного анализа (брutto-формула C₁₆H₁₄N₂O₂Br₂) – вычислено/найдено, %: С 45.07/44.92, Н 3.29/3.23, N 6.57/6.64. ИК спектр, ν/cm^{–1}: ν(C=N) – 1635; ν(C=C) Ar-фрагментов – 1568, 1476, 1448.

Синтез [Zn(5Br-salen)]. Для получения комплекса к кипящему раствору H₂(5Br-salen) в этаноле (0.40 г, 0.94 ммоль, 40 мл спирта) при перемешивании добавляли насыщенный водный рас-

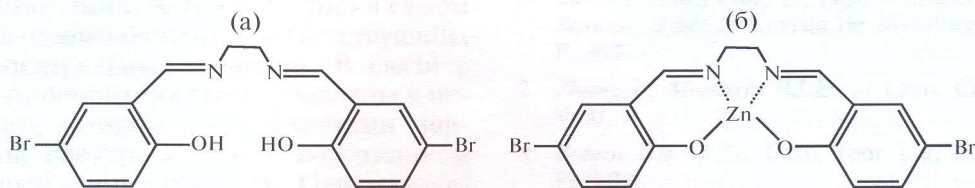


Рис. 1. Структурные формулы азометинового основания H₂(5Br-salen) (а) и комплекса [Zn(5Br-salen)] (б).

Таблица 1. Характеристики ЭСП $\text{H}_2(5\text{Br-salen})$ и $[\text{Zn}(5\text{Br-salen})]$ в различных растворителях

Соединение	$\text{C}_2\text{H}_5\text{OH}$, $Z = 79.6 \text{ ккал моль}^{-1}$	ДМСО, $Z = 71.1 \text{ ккал моль}^{-1}$	ДМФА, $Z = 68.5 \text{ ккал моль}^{-1}$	CH_2Cl_2 , $Z = 64.2 \text{ ккал моль}^{-1}$
	λ_{\max} , нм ($\lg\epsilon$)	λ_{\max} , нм ($\lg\epsilon$)	λ_{\max} , нм ($\lg\epsilon$)	λ_{\max} , нм ($\lg\epsilon$)
$\text{H}_2(5\text{Br-salen})$	220 (4.76); [250] (4.27); [279] (3.49); 328 (3.86); 415 (3.13)	326 (4.15); 418 (3.07)	327 (3.72); 417 (3.72)	[253] (4.27); 328 (3.92)
$[\text{Zn}(5\text{Br-salen})]$	230 (4.53); [242] (4.52); [261] (4.06); 360 (3.79)	[265] (4.38); 365 (4.19)	[265] (4.48); 367 (4.23)	Не растворяется

[] – плечо.

твр $\text{Zn}(\text{CH}_3\text{COO})_2 \cdot 2\text{H}_2\text{O}$ (0.21 г, 0.94 ммоль). Выделившийся осадок белого цвета отфильтровали и несколько раз промыли горячим этанолом. Комплекс высушивали на воздухе при 70°C, а затем в вакууме над пятиокисью фосфора. Выход продукта – 85%. Результаты элементного анализа (брутто-формула $\text{C}_{16}\text{H}_{12}\text{N}_2\text{O}_2\text{Br}_2\text{Zn}$) – вычислена/найдено, %: С 39.23/38.95, Н 2.45/2.57, N 5.72/5.85. ИК спектр, $\nu/\text{см}^{-1}$: $\nu(\text{C}=\text{N})$ – 1647; $\nu(\text{C}=\text{C})$ Ar-фрагментов – 1589, 1477, 1526, 1435.

Электронные спектры поглощения (ЭСП) растворов азометина и комплекса Zn(II) записывали при 293 К в диапазоне 200–700 нм на спектрофотометре “ShimadzuUV 2550 PC”.

Спектры люминесценции поликристаллических образцов, а также растворов комплекса Zn(II) в этаноле, ДМФА и ДМСО при 293 К получали с помощью спектрометра “Флюорат-02-Панорама”. Относительные квантовые выходы люминесценции ($\Phi_{\text{отн}}$) рассчитывали по формуле Паркера [7]

$$\Phi_{\text{отн}} = \Phi_{\text{ст}} \frac{(1 - 10^{-D_{\text{ст}}}) S_x n_x^2}{(1 - 10^{-D_x}) S_{\text{ст}} n_{\text{ст}}^2},$$

где $\Phi_{\text{ст}}$ – квантовый выход люминесценции стандарта, S_x и $S_{\text{ст}}$ – площади под кривыми истинных спектров люминесценции образца и стандарта; D_x и $D_{\text{ст}}$ – оптические плотности растворов на длине волны возбуждения; n_x и $n_{\text{ст}}$ – показатели преломления растворов.

В качестве стандарта использовали водный раствор флуоресцина в 0.1 М NaOH ($\lambda_{\max} = 520$ нм, $\Phi_{\text{ст}} = 0.85$ при 293 К [8]). Точность определения $\Phi_{\text{отн}} = 20\%$.

РЕЗУЛЬТАТЫ И ОБСУЖДЕНИЕ

ЭСП растворов азометина $\text{H}_2(5\text{Br-salen})$ в этаноле, дихлорметане, ДМФА и ДМСО обусловлены спин-разрешенными переходами различной орбитальной природы (основные параметры спектров приведены в табл. 1).

Интенсивные полосы поглощения растворов $\text{H}_2(5\text{Br-salen})$ с максимумами в области 220, 250 и 280 нм, положение которых не зависит от параметра спектроскопической полярности растворителя Z [9], соответствуют внутрилигандным переходам $\pi-\pi^*$ -типа в арильных фрагментах. Полоса с максимумом в области 330 нм обусловлена $n-\pi^*$ - и $\pi-\pi^*$ -переходами в азометиновых группах $-\text{HC}=\text{N}-$ [10].

В ЭСП растворов азометина в спиртах, ДМСО и ДМФА проявляется дополнительная область поглощения с максимумом при 415 нм. Данная полоса обусловлена $n-\pi^*$ -переходами в хинойдных фрагментах азометина [10, 11], которые образуются при внутримолекулярном переносе протона между атомом азота и кислородом гидроксигруппы. Очевидно, что в указанных растворителях, характеризующихся высокой нуклеофильностью [12], образование кето-енольных структур наиболее вероятно.

Комплекс $[\text{Zn}(5\text{Br-salen})]$ растворяется в этаноле, ДМФА, ДМСО и практически не растворим в дихлорметане, хлороформе, ацетоне и ацетонитриле. Низкая растворимость комплекса может быть обусловлена образованием димеров стекингового типа с межмолекулярными связями $\text{Zn}-\text{O}-\text{Zn}$ [13]. Подобные структуры возникают за счет акцептирования электронной плотности комплексообразователя одной мономерной единицы комплекса фенильным кислородом другой. Предположительно, координация ионами Zn(II) молекул растворителей с высоким донорным

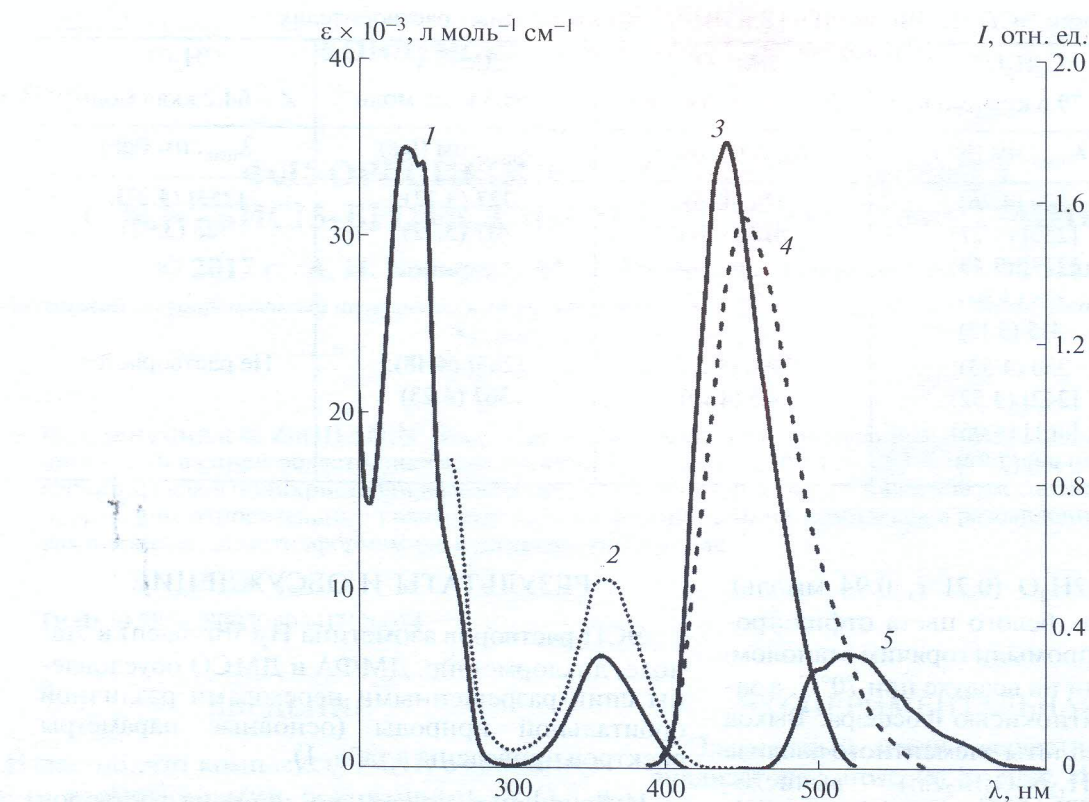


Рис. 2. Спектр поглощения (1) и спектр возбуждения люминесценции (2) комплекса $[Zn(5Br\text{-salen})]$ ($\lambda_{\text{пер}} = 495$ нм, 293 К, растворитель — C_2H_5OH). Спектры люминесценции $[Zn(5Br\text{-salen})]$ ($\lambda_{\text{возб}} = 340$ нм, 293 К): поликристаллический образец (3) и раствор в C_2H_5OH , $C = 5 \times 10^{-5}$ М (4). Спектр люминесценции ($\lambda_{\text{возб}} = 340$ нм, 293 К) поликристаллического образца $H_2(5Br\text{-salen})$ (5).

числом (нуклеофильностью) приводит к разрушению димеров.

В ЭСП раствора $[Zn(5Br\text{-salen})]$ в C_2H_5OH регистрируются полосы с максимумами при 230, 242 и 260 нм, отнесенные к $\pi\text{--}\pi^*$ -переходам в арильных фрагментах координированного азометина. В этаноле, ДМФА и ДМСО также регистрируется полоса средней интенсивности с максимумом в области 360 нм, соответствующая $\pi\text{--}\pi^*$ -переходам в азометиновых группах. Отсутствие в спектрах $[Zn(5Br\text{-salen})]$ поглощения в области 415 нм, характерного для $H_2(5Br\text{-salen})$, объясняется разрушением хинойдной формы азометина при комплексообразовании.

При 293 К $H_2(5Br\text{-salen})$ и $[Zn(5Br\text{-salen})]$ люминесцируют в поликристаллическом виде и в разбавленных растворах. Согласно литературным данным [14], фотolumинесценция ароматических азометинов (оснований Шиффа) и соответствующих комплексов $[Zn(\text{Schiff})]$ обусловлена излучательной деградацией короткоживущих синглетных электронно-возбужденных состояний ${}^1(\pi^*\text{--}\pi)$ -типа.

Спектры флуоресценции при 293 К растворов $H_2(5Br\text{-salen})$ в этаноле, ДМФА и ДМСО, а также в поликристаллическом виде (рис. 2, кривая 5) характеризуются наличием малоинтенсивной слабоструктурированной полосы. При переходе от разбавленных растворов к твердому образцу наблюдается батохромное смещение максимума полосы испускания с 450 до 520 нм. Подобное уменьшение энергии излучательного перехода указывает на наличие межмолекулярного взаимодействия $\pi\text{--}\pi$ -типа между арильными фрагментами азометина $H_2(5Br\text{-salen})$ в поликристаллическом состоянии.

Комплекс $[Zn(5Br\text{-salen})]$ интенсивно люминесцирует в разбавленных растворах в этаноле, ДМФА и ДМСО. По сравнению с поликристаллическим образцом максимумы полос флуоресценции растворов комплекса батохромно смешены с 440 до 450 нм (рис. 2, кривые 3 и 4). Уменьшение энергии излучательного перехода в данном случае, вероятно, обусловлено понижением эффективного заряда ионов цинка при разрушении димеров стекингового типа и координации молекул растворителя.

Таблица 2. Некоторые характеристики фотолюминесценции азометина и комплекса Zn(II)

Соединение/растворитель	λ_{max} , нм	$\Phi_{\text{отн}}$
H ₂ (5Br-salen)*	520	—
H ₂ (5Br-salen)/ДМФА	450	0.03
H ₂ (5Br-salen)/ДМСО	450	0.01
H ₂ (5Br-salen)/C ₂ H ₅ OH	450	0.01
[Zn(5Br-salen)]*	440	—
[Zn(5Br-salen)]/ДМФА	453	0.08
[Zn(5Br-salen)]/ДМСО	452	0.07
[Zn(5Br-salen)]/C ₂ H ₅ OH	450	0.06

* Поликристаллические образцы.

Для растворов [Zn(5Br-salen)] положение максимума и контура полосы флуоресценции не зависит от энергии возбуждающего света. Спектры возбуждения люминесценции комплекса хорошо согласуются со спин-разрешенными оптическими переходами в спектре поглощения (рис. 2, кривые 1 и 2). Это подтверждает отнесение люминесценции комплекса к излучательным переходам из единственного низшего по энергии электронно-возбужденного состояния ${}^1(\pi^* - \pi)$ -типа. Вероятность внутренней конверсии из высших ЭВС в низшее близка к единице.

Значения относительных квантовых выходов люминесценции $\Phi_{\text{отн}}$ для растворов комплекса в этаноле, ДМФА и ДМСО приведены в табл. 2. Из приведенных данных следует, что комплексообразование приводит к значительному росту квантового выхода флуоресценции. По-видимому, это связано с более “жесткой” структурой азометина в координированном состоянии и уменьшением вероятности безызлучательной деградации энергии возбужденного состояния.

Таким образом, исследованы спектральные и люминесцентные свойства флуоресцирующего в воде и в органических растворителях комплекса Zn(5Br-salen). Результаты предполагают, что азометиновая группировка в комплексе имеет стабильную конформацию, способную к координации с цинковым ионом. Важно отметить, что в отличие от азометина, комплекс Zn(5Br-salen) не обладает способностью к координации с ионами металлов, что делает его перспективным кандидатом в качестве сенсора идентификации ионов металлов в водных средах.

синей области спектра комплекса Zn(II) с N,N'-бис(5-бромсаленилiden)этилендиамином.

СПИСОК ЛИТЕРАТУРЫ

- Wang S. // Coord. Chem. Rev. 2001. V. 251. № 1. P. 79–98. doi 10.1016/S0010-8545(00)00403-3
- Evans R.C., Douglas P., Winscom C.J. // Coord. Chem. Rev. 2006. V. 250. № 15–16. P. 2093–2126. doi 10.1016/j.ccr.2006.02.007
- Пузык М.В., Байчурин Р.И., Борисов А.Н. // Опт. и спектр. 2016. Т. 120. № 3. С. 404–407; Puzyk M.V., Baichurin R.I., Borisov A.N. // Opt. Spectrosc. 2016. V. 120. No. 3. P. 386–389. doi 10.1134/S0030400X16030188
- Perez-Bolivar C., Montes V.A., Anzenbacher P. // Inorg. Chem. 2006. V. 45. № 24. P. 9610–9612. doi 10.1021/ic0610511
- Wong W.-Y., Lu G.-L., Liu L., Shi J.-X., Lin J. // Eur. J. Inorg. Chem. 2004. № 10. P. 2066–2077. doi 10.1002/ejic.200300677
- Zheng S.-L., Zhang J.-P., Chen X.-M., Huang Z.-L., Lin Z.-Y., Wong W.-T. // Chem. Eur. J. 2003. V. 9. № 16. P. 3888–3896. doi 10.1002/chem.200304855
- Калверт Дж., Питтс Дж. Фотохимия. М.: Мир, 1968. 672 с.
- Беккер Г.О. Введение в фотохимию органических соединений. Л.: Химия, 1976. 384 с.
- Райхардт К. Растворители и эффекты среды в органической химии. М: Мир, 1991. 763 с.
- Alexander P.V., Sleet R.J. // Australian J. Chem. 1970. V. 23. № 6. P. 1183–1190. doi 10.1071/CH9701183
- Estiu G.L., Jubert A.H., Costamagna J., Vargas J. // J. Molec. Struct.: Theochem. 1996. V. 367. P. 97–110. doi 10.1016/S0166-1280(96)04575-7
- Фиалков Ю.А. Растворитель как средство управления химическим процессом. Л.: Химия, 1990. 226 с.
- Ma C.T.Z., Lo A., Abdolmaleki A., MacLachlan M.J. // Organic Lett. 2004. V. 6. № 21. P. 3841–3844. doi 10.1021/o10483549
- Гарновский Д.А., Бурлов А.С., Васильченко И.С., Ураев А.И., Коршунова Е.В. // Вестник ЮНЦ РАН. 2014. Т. 10. № 3. С. 35–53.